

Schéma numérique BGK discret pour le modèle d'Euler bitempérature en 2D

D. Aregba-Driollet

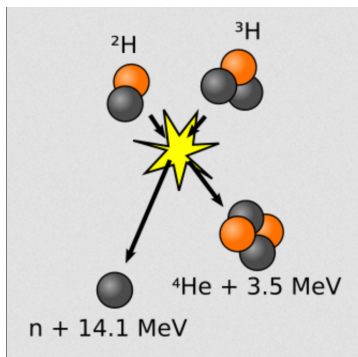
Institut de Mathématiques de Bordeaux

Collaborations:

- Stéphane Brull (IMB)
- Corentin Prigent dans le cadre de sa thèse IMB et CELIA (correspondant: Bruno Dubroca).

Le contexte physique

Expérience de fusion par confinement inertiel



Pour cela : lasers très puissants qui font vaporiser l'échantillon sous forme de **plasma**.

- Confinement de la matière dans un très petit volume
- Très hautes températures : 10^7 K
- Echelle de temps : 10^{-9} secondes
- Pendant un court laps de temps la température des ions diffère de celle des électrons

Système d'Euler pour un mélange avec ionisation $Z = \frac{n_e}{n_i}$ constante (quasi-neutralité)

Notations: e : électrons, i : ions.

- c_e, c_i : fractions massiques

$$\rho_e = \rho c_e = m_e n_e, \quad \rho_i = \rho c_i = m_i n_i, \quad c_e + c_i = 1.$$

Conséquence: c_e et c_i sont constantes.

- $u = u_e = u_i$ (vitesses à l'équilibre)
- Energies ioniques and électroniques (températures hors équilibre)

$$\mathcal{E}_\beta = \rho_\beta \varepsilon_\beta + \frac{1}{2} \rho_\beta u^2, \quad \beta = e, i.$$

Système d'Euler non conservatif à deux espèces

2 lois de pression et 2 températures:

$$p_\alpha = (\gamma_\alpha - 1)\rho_\alpha \mathcal{E}_\alpha = n_\alpha k_B T_\alpha, \quad \alpha = e, i.$$

Les équations:

$$\begin{cases} \partial_t \rho + \nabla_x \cdot (\rho u) = 0, \\ \partial_t (\rho u) + \nabla_x \cdot (\rho u \otimes u) + \nabla_x p_e + \nabla_x p_i = 0, \\ \partial_t \mathcal{E}_e + \nabla_x \cdot (u(\mathcal{E}_e + p_e)) - u \cdot (c_i \nabla_x p_e - c_e \nabla_x p_i) = \nu_{ei}(T_i - T_e), \\ \partial_t \mathcal{E}_i + \nabla_x \cdot (u(\mathcal{E}_i + p_i)) + u \cdot (c_i \nabla_x p_e - c_e \nabla_x p_i) = -\nu_{ei}(T_i - T_e), \end{cases}$$

[Coquel, Marmignon, 1998], [Coquel, Chalons, 2005]

Système **non conservatif** avec **termes sources**.

Si $\gamma_e = \gamma_i$ alors $(\rho, \rho u, \mathcal{E}_e + \mathcal{E}_i)$ satisfait le système d'Euler

- Hyperbolicité: diagonalisable avec trois valeurs propres $u \cdot \omega$, $u \cdot \omega \pm a$

$$a = \sqrt{\frac{\gamma_e p_e + \gamma_i p_i}{\rho}}$$

- [Aregba-Driollet, Breil, Brull, Estibals, Dubroca, 2018] Existence d'une entropie dissipative strictement convexe

$$\eta = \sum_{\alpha=e,i} \left(-\frac{\rho_\alpha}{m_\alpha(\gamma_\alpha - 1)} \ln \frac{\rho_\alpha}{\rho_\alpha^{\gamma_\alpha}} \right), \quad Q = u\eta.$$

Pour les solutions régulières

$$\partial_t \eta + \operatorname{div} Q = -\frac{v_{ei}}{k_B T_i T_e} (T_i - T_e)^2$$

Solutions fortes : l'entropie ne fournit pas un symétriseur.

Rappel: pour un système hyperbolique sous forme divergentielle

$$\partial_t U + \operatorname{div} F(U) = Q(U)$$

Si η est une entropie strictement convexe $\eta''(U)F'_d(U)$ est symétrique pour tout $d = 1, \dots, D$.

Ici : $\partial_t U + \sum_{d=1}^D A_d(U) \partial_d U = Q(U)$ avec $A_d(U) \neq F'_d(U)$. Même pour $D = 1$

$\eta''(U)A(U)$ est symétrique si et seulement si $T_i = T_e$.

[Aregba-Driollet, Brull, Peng 2021]:

- Existence d'un **symétriseur** (et donc existence locale des solutions régulières)
- En 1D pour $\gamma_i \neq \gamma_e$: **existence globale** des solutions régulières pour le problème de Cauchy à données petites

Symétriseur pour Euler en variables (ρ, u, ε) :

$$B_0 = \text{diag} \left(\frac{(\gamma - 1)\varepsilon}{\rho^2}, 1, \frac{1}{\varepsilon} \right)$$

Symétriseur pour Euler bitempérature en variables $(\rho, u, \varepsilon_e, \varepsilon_i)$:

$$B_0 = \text{diag} \left(\frac{1}{\rho^2} \sum_{\alpha=e,i} c_\alpha (\gamma_\alpha - 1) \varepsilon_\alpha, 1, \frac{c_e}{\varepsilon_e}, \frac{c_i}{\varepsilon_i} \right)$$

Les solutions faibles sont physiques, ce sont celles qu'on veut approcher numériquement

Présence des termes $u \cdot \nabla(c_i p_e - c_e p_i)$:

- u continue (discontinuités de contact ou détente): OK.
- u discontinue (chocs) ? Définition théorique : [Dal Maso, Le Floch, Murat, 1995], [Berthon, Coquel, Le Floch, 2012]. Pour sélectionner les chocs admissibles il faut d'autres informations : termes de viscosité, système sous-jacent.

[Wargnier, Faure, Graille, Magin, Massot, 2020] : conditions de saut à partir de traveling waves en présence de diffusion.

Ici: point de vue cinétique.

- 1 Construire un système d'Euler bitempérature à partir d'un modèle cinétique (limite hydrodynamique)
- 2 Propriétés entropiques
- 3 Schéma BGK discret en 2D
 - Schéma d'ordre 1
 - Extension à l'ordre 2

Dérivation du modèle bitempérature

Modèle BGK à deux espèces

$f_e(t, x, v)$, $f_i(t, x, v)$: fonctions de distribution pour les électrons et les ions. Pour $\alpha = e, i$:

$$\partial_t f_\alpha + v \cdot \nabla_x f_\alpha + \frac{q_\alpha}{m_\alpha} (\mathbf{E} + \mathbf{v} \wedge \mathbf{B}) \cdot \nabla_v f_\alpha = \frac{1}{\tau_\alpha} (\mathcal{M}_\alpha(f_\alpha) - f_\alpha) + \frac{1}{\tau_{ei}} (\overline{\mathcal{M}_\alpha}(f_e, f_i) - f_\alpha),$$

$\tau_\alpha > 0$, $\tau_{ei} > 0$, $\tau_{ie} > 0$, $\tau_{ei} = \tau_{ie}$. Possibilité de traiter $\tau_{ei} \neq \tau_{ie}$

$E(x, t)$: champ électrique, $B(x, t)$: champ magnétique.

$$\begin{aligned} \mathcal{M}_\alpha(f_\alpha) &= \frac{n_\alpha}{(2\pi k_B T_\alpha / m_\alpha)^{3/2}} \exp\left(-\frac{|v - u_\alpha|^2}{2k_B T_\alpha / m_\alpha}\right) \\ \overline{\mathcal{M}_\alpha}(f_e, f_i) &= \frac{n_\alpha}{(2\pi k_B T / m_\alpha)^{3/2}} \exp\left(-\frac{|v - u|^2}{2k_B T / m_\alpha}\right) \end{aligned}$$

Quantités macroscopiques de mélange

$\alpha = e$ ou i . Densité: n_α , vitesse: u_α , température: T_α

$f_\alpha(t, x, v)$: fonction de distribution de l'espèce α

$$\rho_\alpha = n_\alpha m_\alpha = m_\alpha \int_{\mathbb{R}^3} f_\alpha dv, \quad u_\alpha = \frac{1}{n_\alpha} \int_{\mathbb{R}^3} v f_\alpha dv,$$

$$\mathcal{E}_\alpha = \frac{3}{2} \rho_\alpha \frac{k_B}{m_\alpha} T_\alpha + \frac{1}{2} \rho_\alpha u_\alpha^2 = \int_{\mathbb{R}^3} m_\alpha \frac{v^2}{2} f_\alpha dv.$$

Mélange

$$u = \frac{\rho_e u_e + \rho_i u_i}{\rho_e + \rho_i}, \quad nk_B T = \sum_\alpha \frac{1}{2} \rho_\alpha (u_\alpha^2 - u^2) + \sum_\alpha (n_\alpha k_B T_\alpha).$$

Couplage avec les équations de Maxwell

$$\begin{cases} -\cancel{c^{-2}}\partial_t \mathbf{E} + \text{rot} \mathbf{B} = \mu_0 \mathbf{j}, & \mathbf{j} = n_e q_e \mathbf{u}_e + n_i q_i \mathbf{u}_i \\ \partial_t \mathbf{B} + \text{rot} \mathbf{E} = 0, \\ \epsilon_0 \text{div} \mathbf{E} = \mathbf{Q}, & \mathbf{Q} = n_e q_e + n_i q_i \\ \text{div} \mathbf{B} = 0. \end{cases}$$

\mathbf{Q} : charge totale, \mathbf{j} : courant.

Quasi-neutralité: $\mathbf{Q} = 0$: $Z = n_e/n_i = \text{Cte}$. Si $\rho = \rho_e + \rho_i$ alors

$$\rho_\alpha = c_\alpha \rho, \quad \alpha = e, i$$

avec c_e et c_i **constantes**.

Le courant influe sur les vitesses:

$$\begin{cases} u_e = u - \frac{m_i}{\rho e Z} \mathbf{j} = u - \frac{m_i}{\rho q_i} \mathbf{j} \\ u_i = u + \frac{m_e}{\rho e} \mathbf{j} = u - \frac{m_e}{\rho q_e} \mathbf{j} \end{cases}$$

Modèle cinétique

$$\begin{cases} \partial_t f_e + v \cdot \nabla_x f_e + \frac{q_e}{m_e} (E + v \wedge B) \cdot \nabla_v f_e = \frac{1}{\varepsilon} (\mathcal{M}_e - f_e) + \frac{1}{\tau_{ei}} (\overline{\mathcal{M}}_e - f_e), \\ \partial_t f_i + v \cdot \nabla_x f_i + \frac{q_i}{m_i} (E + v \wedge B) \cdot \nabla_v f_i = \frac{1}{\varepsilon} (\mathcal{M}_i - f_i) + \frac{1}{\tau_{ie}} (\overline{\mathcal{M}}_i - f_i) \end{cases}$$

avec

$$\begin{cases} Q = 0, & \text{rot} B = \mu_0 j \\ \partial_t B + \text{rot} E = 0 \\ \text{div} B = 0 \end{cases}$$

$$\varepsilon \rightarrow 0 : f_\alpha = \mathcal{M}_\alpha.$$

$$\partial_t \rho + \operatorname{div}(\rho u) = 0$$

$$\partial_t(\rho u) + \operatorname{div}\left(\rho u \otimes u + \frac{m_e m_i}{\rho e^2 Z} j \otimes j\right) + \nabla(p_e + p_i) + B \wedge j = 0$$

$$\partial_t \mathcal{E}_\alpha + \operatorname{div}(u_\alpha (\mathcal{E}_\alpha + p_\alpha)) - \frac{q_\alpha c_\alpha}{m_\alpha} \rho E \cdot u_\alpha = \nu_{1,\alpha\beta} (T_\beta - T_\alpha) + \nu_{2,\alpha\beta} j \cdot j + \nu_{3,\alpha\beta} j \cdot u,$$

$$\alpha = e, i.$$

Loi d'Ohm généralisée: $\mu = Z \frac{m_e}{m_i}$, e : charge de l'électron

$$\begin{aligned} \partial_t j + \operatorname{div}\left(u \otimes j + j \otimes u - \frac{m_i}{\rho Z e} (1 - \mu) j \otimes j + \sum_\alpha \left(\frac{q_\alpha}{m_\alpha} p_\alpha\right) l\right) \\ + \frac{1 - \mu}{\mu} \frac{Z e}{m_i} j \wedge B + \rho \frac{q_e q_i}{m_e m_i} (E + u \wedge B) \\ = \frac{j}{\frac{\tau_{je}}{c_i} + \frac{\tau_{ei}}{c_e}} \left(\mu - \frac{1}{\mu}\right). \end{aligned}$$

Simplifications de la loi d'Ohm

- 1 $B = 0 \implies j = 0$ et

$$\rho E = \nabla \left(\frac{p_e m_i}{q_i} + \frac{p_i m_e}{q_e} \right)$$

On a **Euler bi-température**.

- 2 On garde B et on pose

$$\sum_{\alpha} \frac{q_{\alpha}}{m_{\alpha}} \nabla p_{\alpha} + \rho \frac{q_e q_i}{m_e m_i} (E + u \wedge B) = 0.$$

Dans un cas 1D Transverse Magnétique on retrouve les calculs de [**Brull, Dubroca, Lhébrard, 2021**]

Ici on poursuit avec $B = 0$.

Entropie pour le système

Entropie de mélange

$$\eta(\mathcal{U}) = \eta_e(\mathbf{U}_e(\mathcal{U})) + \eta_i(\mathbf{U}_i(\mathcal{U})), \quad Q(\mathcal{U}) = u\eta(\mathcal{U}).$$

$$\eta_\alpha(\rho_\alpha, \rho_\alpha u, \mathcal{E}_\alpha) = - \frac{\rho_\alpha}{m_\alpha(\gamma_\alpha - 1)} \left(\ln \left(\frac{(\gamma_\alpha - 1)\rho_\alpha \mathcal{E}_\alpha}{\rho_\beta^{\gamma_\alpha}} \right) + C \right), \quad C \geq 0$$

$$\mathbf{U}_\beta(\mathcal{U}) = (c_\alpha \rho, c_\alpha \rho u, \mathcal{E}_\alpha)$$

Entropie de Boltzmann de mélange

$$\mathcal{H}(f_e, f_i) = \mathcal{H}_s(f_e) + \mathcal{H}_s(f_i), \quad \mathcal{H}_s(f) = \int_{\mathbb{R}^3} (f \ln(f) - f) dv.$$

$$\mathcal{H}_s(\mathcal{M}_\alpha(f_\alpha)) = \eta_\alpha(\rho_\alpha, \rho_\alpha u, \mathcal{E}_\alpha)$$

L'entropie η est compatible avec l'entropie de Boltzmann:

Théorème Si \mathcal{U} est une solution du modèle d'Euler bitempérature obtenue par limite du modèle cinétique alors

$$\partial_t \eta(\mathcal{U}) + \operatorname{div}_x \cdot Q(\mathcal{U}) \leq -\frac{\nu_{ei}}{k_B T_i T_e} (T_i - T_e)^2.$$

Une solution sera dite **admissible** si elle vérifie cette inégalité. [Aregba-Driollet, Breil, Brull, Estibals, Dubroca, 2018]

Schéma numérique : modèle BGK discret

- 1 Schémas fluides [Aregba-Driollet, Breil, Brull, Estibals, Dubroca, 2018]
 - Discrétisation et prise des moments du modèle cinétique (SC)
 - Relaxation des pressions (Suliciu)
 - Lagrange-projection (LP)
 - BGK discret (BGKD)
- 2 These de C. Prigent : Schéma DVM à partir du modèle cinétique précédent [Brull, Dubroca, Prigent, 2020] (DVM)

En l'absence de choc tous ces schémas ont les mêmes performances

(SC), (BGKD), (DVM) produisent les mêmes chocs

(BGKD) a une inégalité d'entropie discrète

Modèle cinétique de type BGK discret

Système de loi de conservation

$$\partial_t U + \sum_{d=1}^D \partial_{x_d} F_d(U) = 0,$$

où $U(x, t) \in \Omega$, $\Omega \subset \mathbb{R}^K$ convexe.

Approximation par relaxation

$$\partial_t f^\varepsilon + \sum_{d=1}^D \Lambda_d \partial_{x_d} f^\varepsilon = \frac{1}{\varepsilon} (M(Pf^\varepsilon) - f^\varepsilon),$$

$f^\varepsilon = (f_1^\varepsilon, \dots, f_L^\varepsilon)$, $f^\varepsilon(x, t) \in (\mathbb{R}^K)^L$, $\Lambda_d = \text{diag}(v_{d,1} I_K, \dots, v_{d,L} I_K)$, $v_{d,l} \in \mathbb{R}$,

$P \in \mathcal{L}((\mathbb{R}^K)^L, \mathbb{R}^K)$, et $M = (M_1, \dots, M_L): \Omega \rightarrow (\mathbb{R}^K)^L$.

Dit autrement

$$\partial_t f_l^\varepsilon + \sum_{d=1}^D v_{d,l} \partial_{x_d} f_l^\varepsilon = \frac{1}{\varepsilon} (M_l(Pf^\varepsilon) - f_l^\varepsilon), \quad 1 \leq l \leq L.$$

La compatibilité est assurée par

$$\forall U \in \Omega, \quad P(M(U)) = U, \quad P(\Lambda_d M(U)) = F_d(U), \quad d = 1, \dots, D.$$

On applique P

$$\partial_t(Pf^\varepsilon) + \sum_{d=1}^D \partial_{x_d} P(\Lambda_d f^\varepsilon) = 0.$$

De plus, $f^\varepsilon \rightarrow f \Rightarrow f = M(Pf)$

P : opérateur de moments

$U = Pf$ est solution du pb de départ

Résultats théoriques: [Natalini, 1998], [Serre, 2000], [Bouchut, 1999]

Développements numériques: [Aregba-Driollet, Natalini, 2000][Aregba-Driollet, Natalini, Tang 2004]

Euler bi-température : ajout du terme de force. Fait en 1D et ordre 1 dans [Aregba-Driollet, Breil, Brull, Dubroca, Estibals, 2018]

Dimension 2 et 4 vitesses. $D = 2$ et $L = 4$.

$$\begin{cases} \partial_t f_1^\varepsilon + \lambda_1^- \partial_x f_1^\varepsilon = \frac{1}{\varepsilon} (M_1(Pf^\varepsilon) - f_1^\varepsilon) \\ \partial_t f_2^\varepsilon + \lambda_2^- \partial_y f_2^\varepsilon = \frac{1}{\varepsilon} (M_2(Pf^\varepsilon) - f_2^\varepsilon) \\ \partial_t f_3^\varepsilon + \lambda_1^+ \partial_x f_3^\varepsilon = \frac{1}{\varepsilon} (M_3(Pf^\varepsilon) - f_3^\varepsilon) \\ \partial_t f_4^\varepsilon + \lambda_2^+ \partial_y f_4^\varepsilon = \frac{1}{\varepsilon} (M_4(Pf^\varepsilon) - f_4^\varepsilon) \end{cases}$$

Définition de P

$$\forall f \in (\mathbb{R}^K)^4, \quad Pf = \sum_{l=1}^4 f_l.$$

Définition des Maxwelliennes

$$M(U) = \begin{pmatrix} \frac{1}{\lambda_1^+ - \lambda_1^-} \left(\frac{\lambda_1^+}{2} U - F_1(U) \right) \\ \frac{1}{\lambda_2^+ - \lambda_2^-} \left(\frac{\lambda_2^+}{2} U - F_2(U) \right) \\ \frac{1}{\lambda_1^+ - \lambda_1^-} \left(-\frac{\lambda_1^-}{2} U + F_1(U) \right) \\ \frac{1}{\lambda_2^+ - \lambda_2^-} \left(-\frac{\lambda_2^-}{2} U + F_2(U) \right) \end{pmatrix}.$$

Condition sous caractéristique

$$\forall U \in \Omega, \sigma(F'_d(U)) \subset \left] \frac{\lambda_d^-}{2}, \frac{\lambda_d^+}{2} \right[, \quad d = 1, 2 \iff \forall U \in \Omega, \forall l \sigma(M'_l(U)) \subset]0, +\infty[.$$

Construction du modèle

On pose pour $f^\alpha \in (\mathbb{R}^4)^4$: $Pf^\alpha = U^\alpha = (\rho^\alpha, \rho^\alpha u^\alpha, \mathcal{E}^\alpha)$.

$$\left\{ \begin{array}{l} \partial_t f_l^{e,\varepsilon} + \sum_{d=1}^2 v_{d,l} \partial_{x_d} f_l^{e,\varepsilon} + \frac{q^e}{m^e} N(E^\varepsilon) f_l^{e,\varepsilon} = \frac{1}{\varepsilon} (M_l^e(U^{e,\varepsilon}) - f_l^{e,\varepsilon}) + B_l^{ei}(f^{e,\varepsilon}, f^{i,\varepsilon}), \\ \partial_t f_l^{i,\varepsilon} + \sum_{d=1}^2 v_{d,l} \partial_{x_d} f_l^{i,\varepsilon} + \frac{q^i}{m^i} N(E^\varepsilon) f_l^{i,\varepsilon} = \frac{1}{\varepsilon} (M_l^i(U^{i,\varepsilon}) - f_l^{i,\varepsilon}) + B_l^{ie}(f^{e,\varepsilon}, f^{i,\varepsilon}), \\ -c^{-2} \partial_t E^\varepsilon = \mu_0 \left(\frac{q^e}{m^e} \rho^{e,\varepsilon} u^{e,\varepsilon} + \frac{q^i}{m^i} \rho^{i,\varepsilon} u^{i,\varepsilon} \right), \\ \varepsilon_0 \operatorname{div} E^\varepsilon = \frac{q^e}{m^e} \rho^{e,\varepsilon} + \frac{q^i}{m^i} \rho^{i,\varepsilon} \\ \operatorname{rot} E^\varepsilon = 0 \end{array} \right.$$

$B^{\alpha\beta}$: terme source \Rightarrow interactions ions-électrons

$$PB^{\alpha\beta} \Rightarrow (0, 0, 0, v^{\alpha\beta}(T^\beta - T^\alpha)).$$

Limite quasi-neutre

$$\rho^e = c^e \rho, \quad \rho^i = c^i \rho, \quad u = u^e = u^i$$

Terme de force (similaire à $E \cdot \nabla_v f$)

$$\forall f_l \in \mathbb{R} \times \mathbb{R}^2 \times \mathbb{R}, \quad N(E)f = -(0, f_{l,1}E, f_{l,2} \cdot E)$$

et donc si $f = M^\alpha(U^\alpha)$ le moment s'écrit

$$N(E)U^\alpha = -(0, \rho^\alpha E, \rho^\alpha u \cdot E)$$

Conservation de la masse:

$$\partial_t \rho + \nabla \cdot (\rho u) = 0$$

Energies:

$$\partial_t \mathcal{E}^e + \nabla \cdot (u(\mathcal{E}^e + p^e)) - \frac{q^e}{m^e} \rho^e u \cdot E = \nu^{ei}(T^i - T^e),$$

$$\partial_t \mathcal{E}^i + \nabla \cdot (u(\mathcal{E}^i + p^i)) - \frac{q^i}{m^i} \rho^i u \cdot E = -\nu^{ei}(T^i - T^e).$$

Les quantités de mouvement:

$$\begin{cases} \partial_t(\rho^e u) + \nabla \cdot (\rho^e u \otimes u) + \nabla p^e - \frac{q^e}{m^e} E \rho^e = 0 \\ \partial_t(\rho^i u) + \nabla \cdot (\rho^i u \otimes u) + \nabla p^i - \frac{q^i}{m^e} E \rho^i = 0 \end{cases}$$

donne l'expression de E :

$$\frac{\rho^i q^i}{m^i} E = -\frac{\rho^e q^e}{m^e} E = -c^i \nabla p^e + c^e \nabla p^i.$$

Entropies cinétiques

Les maxwelliennes sont de la forme

$$M_l^\alpha(U^\alpha) = \theta_l U^\alpha + \zeta \cdot F^\alpha(U^\alpha), \quad 1 \leq l \leq 4, \quad \alpha = e, i,$$

avec $\theta_l \in \mathbb{R}$ et $\zeta \in \mathbb{R}^2$. On pose pour toute paire entropie-flux (η^α, Q^α) :

$$G_l^\alpha(U) = \theta_l \eta^\alpha(U) + \zeta_l \cdot Q^\alpha(U).$$

Si la condition **sous-caractéristique** est vérifiée alors M_l^α est bijective et on a les entropies cinétiques

$$H_l^\alpha(f_l^\alpha) = G_l^\alpha((M_l^\alpha)^{-1}(f_l^\alpha)).$$

- H_l^α est convexe. (E0)
- $\sum_{l=1}^4 H_l^\alpha(M_l^\alpha(U^\alpha)) = \eta^\alpha(U^\alpha)$. (E1)
- $\sum_{l=1}^4 V_l H_l^\alpha(M_l^\alpha(U^\alpha)) = Q^\alpha(U^\alpha)$. (E2)
- si $U_f = P(f)$, $\sum_{l=1}^4 H_l^\alpha(M_l^\alpha(U_f)) \leq \sum_{l=1}^4 H_l^\alpha(f_l)$. (E3)

Si \mathcal{U} est une solution d'Euler bi-température obtenue comme limite du modèle BGK discret alors c'est une solution admissible:

$$\partial_t \eta(\mathcal{U}) + \operatorname{div}_x \cdot Q(\mathcal{U}) \leq -\frac{\nu_{ei}}{k_B T_i T_e} (T_i - T_e)^2.$$

Obtention du schéma d'ordre 1

Δx_1 et Δx_2 : pas d'espace, Δt pas de temps, $j = (j_1, j_2) \in \mathbb{Z}^2$.

Pour toute inconnue $v(x_1, x_2, t)$, v_j^n : approximation au temps t^n sur la cellule $C_j =]x_{1,j_1-\frac{1}{2}}, x_{1,j_1+\frac{1}{2}}[\times]x_{2,j_2-\frac{1}{2}}, x_{2,j_2+\frac{1}{2}}[$. Supposons $\mathcal{U}_j^n = (\rho_j^n, \rho_j^n u_j^n, \mathcal{E}_{e,j}^n, \mathcal{E}_{i,j}^n)$ connu.

Etape 1: Définition de $f_j^{\alpha,n}$ comme

$$U_j^{\alpha,n} = (c^\alpha \rho_j^n, c^\alpha \rho_j^n u_j^n, \mathcal{E}_j^{\alpha,n}), \quad f_j^{\alpha,n} = M^\alpha(U_j^{\alpha,n}), \quad j \in \mathbb{Z}^2, \quad \alpha = e, i.$$

Etape 2: Résolution d'un système d'équations de transport linéaires:

$$\partial_t f^\alpha + \sum_{d=1}^2 \Lambda_d \partial_{x_d} f^\alpha = 0$$

par schéma upwind

Puis on applique P et on obtient $U_j^{\alpha,n+\frac{1}{2}}$, $\alpha = e, i$.

Etape 3: Schéma implicite sur les termes de force et les sources puis prise des moments.

Discrétisation des termes non conservatifs

$$\mathbf{u} \cdot \nabla_x (c_e p_i - c_i p_e) \iff \mathbf{u}_j^{n+1} \cdot \sum_{d=1}^2 \frac{1}{\Delta x_d} \left(\delta_{j+\frac{e_d}{2}}^n - \delta_{j-\frac{e_d}{2}}^n \right)$$

où

$$\delta_{j+\frac{e_d}{2}}^n = -c^j F_{j+\frac{e_d}{2},2}^{e,n} + c^e F_{j+\frac{e_d}{2},2}^{i,n} \in \mathbb{R}^2.$$

L'approximation des termes non conservatifs est consistante avec

$$\delta_{j+\frac{e_d}{2}}^n = \delta_d(\mathcal{U}_j^n, \mathcal{U}_{j+e_d}^n), \quad \delta(\mathcal{U}, \mathcal{U}) = (-c^i p^e + c^e p^i)l.$$

⇒ Approximation de la loi d'Ohm

Approximation des termes non conservatifs

$$\delta_{j+\frac{e_d}{2}}^n = \begin{cases} (-c_i p_{j+e_d}^{e,n} + c_e p_{j+e_d}^{i,n}) e_d & \text{si } \lambda_d^- < \lambda_d^+ \leq 0, \\ (-c_i p_j^{e,n} + c_e p_j^{i,n}) e_d & \text{si } 0 \leq \lambda_d^- < \lambda_d^+, \\ \left(\frac{\lambda_d^+}{\lambda_d^+ - \lambda_d^-} (-c^i p_j^{e,n} + c^e p_j^{i,n}) - \frac{\lambda_d^-}{\lambda_d^+ - \lambda_d^-} (-c^i p_{j+e_d}^{e,n} + c^e p_{j+e_d}^{i,n}) \right) e_d & \text{if } \lambda_d^- < 0 < \lambda_d^+. \end{cases}$$

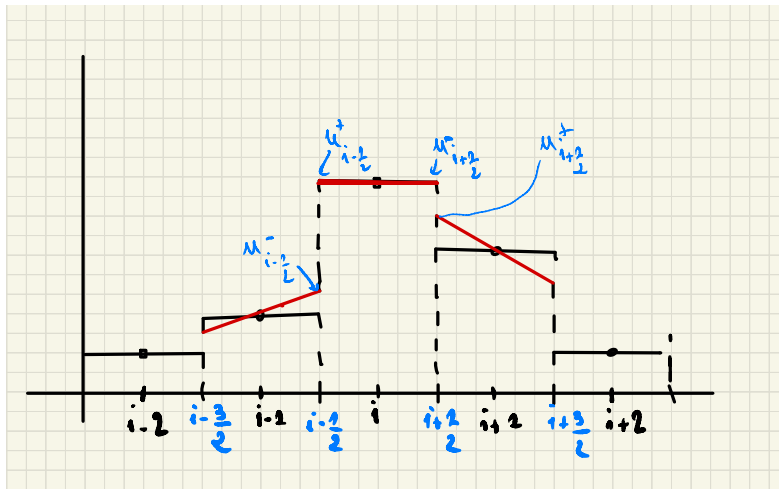
Terme consistant avec $c^e p^i - c^i p^e$.

- 1 Si la condition sous-caractéristique et la condition de CFL sont vérifiées alors on a une **inégalité d'entropie discrète**.
- 2 Si $\gamma_e = \gamma_i$ alors $(\rho_j^n, \rho_j^n u_j^n, \mathcal{E}_j^{e,n} + \mathcal{E}_j^{i,n})$ est solution du schéma HLL.
Conséquence:

$$\rho > 0, \quad p_e + p_i > 0.$$

Obtention du schéma d'ordre 2

Reconstruction affine cas 1D



Pentes calculés à partir des $\frac{u_i - u_{i-1}}{\Delta x}$ et $\frac{u_{i+1} - u_i}{\Delta x}$

Situation 1d

Loi de conservation

$$\partial_t U + \partial_x F(U) = 0.$$

Point de départ: Schéma d'ordre 1

$$U_j^{n+1} = U_j^n - \frac{\Delta t}{\Delta x} (F_{j+\frac{1}{2}}^n - F_{j-\frac{1}{2}}^n)$$

Etape 1: Reconstruction affine:

$$\forall x \in C_j =]x_{j-\frac{1}{2}}, x_{j+\frac{1}{2}}[, \quad U^n(x) = U_j^n + \sigma_j^n (x - x_j), \quad x_j = \frac{1}{2}(x_{j-\frac{1}{2}} + x_{j+\frac{1}{2}}).$$

Etape 2: Valeurs à l'interface

$$U_{j+\frac{1}{2}}^+ = (U^n(x_{j+\frac{1}{2}}))^+ = U_{j+1}^n - \sigma_{j+1}^n \frac{\Delta x}{2}, \quad U_{j+\frac{1}{2}}^- = (U^n(x_{j+\frac{1}{2}}))^- = U_j^n + \sigma_j^n \frac{\Delta x}{2}.$$

Reconstruction affine cas 1D

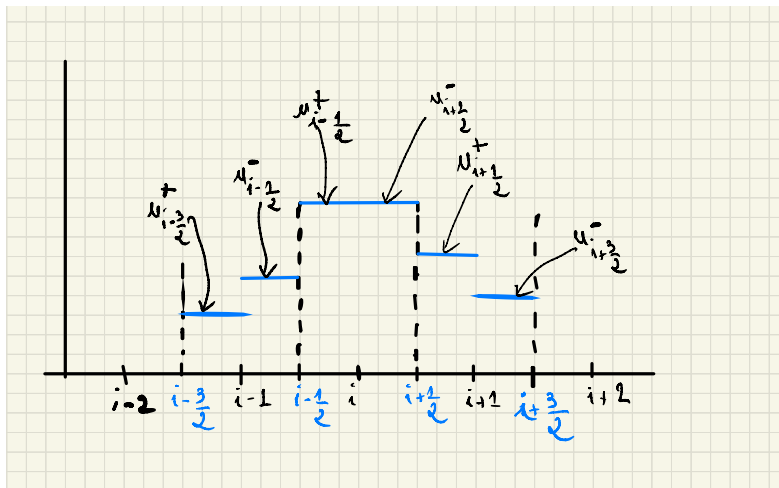
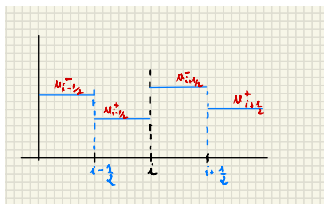


Schéma final



$$U_i^{n+1,-} = U_{i-\frac{1}{2}}^+ - \frac{2\Delta t}{\Delta x} \left(\mathcal{F}(U_{i-\frac{1}{2}}^+, U_{i+\frac{1}{2}}^-) - \mathcal{F}(U_{i-\frac{1}{2}}^-, U_{i-\frac{1}{2}}^+) \right)$$

$$U_i^{n+1,+} = U_{i+\frac{1}{2}}^- - \frac{2\Delta t}{\Delta x} \left(\mathcal{F}(U_{i+\frac{1}{2}}^-, U_{i+\frac{1}{2}}^+) - \mathcal{F}(U_{i-\frac{1}{2}}^+, U_{i+\frac{1}{2}}^-) \right).$$

Schéma final

$$U_j^{n+1} = \frac{1}{2} (U_j^{n+1,-} + U_j^{n+1,+}) = U_j^n - \frac{\Delta t}{\Delta x} \left(\mathcal{F}(U_{i+\frac{1}{2}}^-, U_{i+\frac{1}{2}}^+) - \mathcal{F}(U_{i-\frac{1}{2}}^-, U_{i-\frac{1}{2}}^+) \right)$$

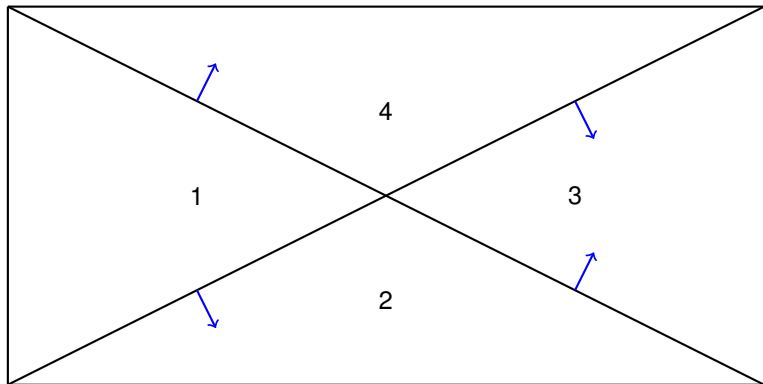
En pratique: on n'a pas besoin des flux aux milieux de mailles.

Ces idées se généralisent en 2D en divisant chaque maille en triangles.

[Perthame, Shu 1996], [Bouchut 2004]: les propriétés de positivité et, partiellement, d'entropie, sont conservés.

Procédures de limitation: [Perthame, Qiu 1994], [Berthon 2006], [Calgaro, Creusé, Goudon, Penel 2013]

Maille C_j découpée en 4 quadrants



Mise en place du schéma

$(\mathcal{U}_j^n)_j$ solution approchée à t^n . \mathcal{U}^n reconstruite par des pentes $\sigma_j^n = (\sigma_{1,j}^n, \sigma_{2,j}^n)$, $j \in \mathbb{Z}^2$:

$$\forall x \in C_j, \quad \mathcal{U}(x) = \mathcal{U}_j^n + (x - x_j) \cdot \sigma_j^n.$$

4 états constants

$$\begin{aligned} \mathcal{U}_j^{(1)} &= \mathcal{U}_j^n - \frac{\Delta x_1}{2} \sigma_{1,j}^n, & \mathcal{U}_j^{(2)} &= \mathcal{U}_j^n - \frac{\Delta x_2}{2} \sigma_{2,j}^n, \\ \mathcal{U}_j^{(3)} &= \mathcal{U}_j^n + \frac{\Delta x_1}{2} \sigma_{1,j}^n, & \mathcal{U}_j^{(4)} &= \mathcal{U}_j^n + \frac{\Delta x_2}{2} \sigma_{2,j}^n. \end{aligned}$$

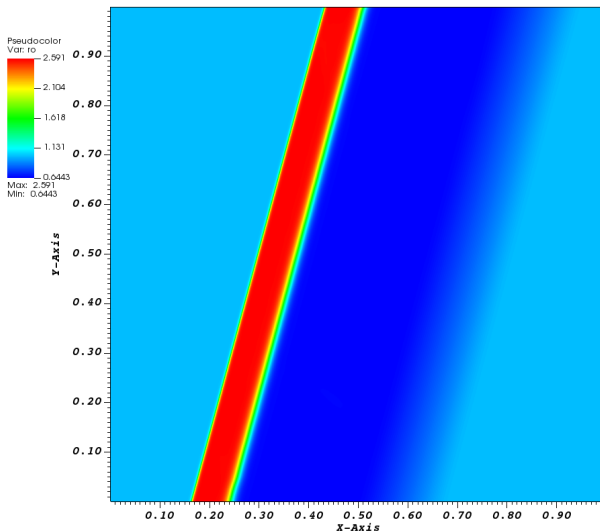
On applique le schéma d'ordre 1 sur chaque triangle. Tout est **explicitable** (upwind).

DIFFERENCE PRATIQUE AVEC LE CAS CONSERVATIF : il faut faire tous ces calculs, pas de simplification.

Résultats numériques

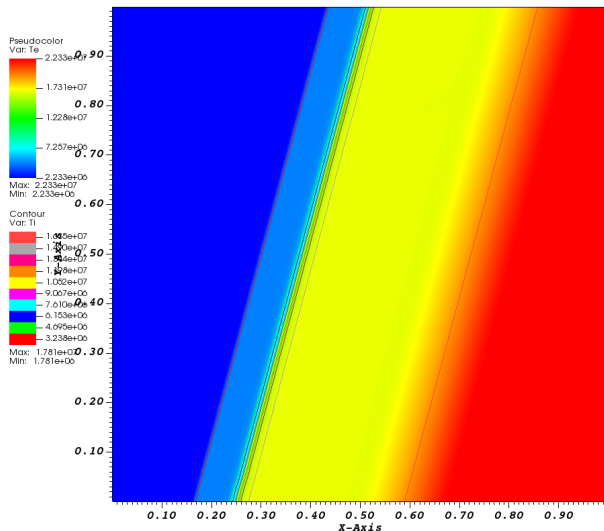
Cas test oblique: densité totale

Cas test de Sod. $v^{ei} = 4 \times 10^9$. Grille en espace 800×800



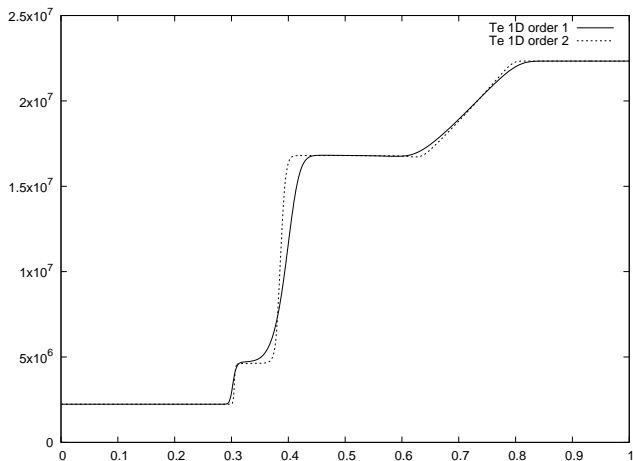
Cas test oblique

$\nu^{ei} = 4 \times 10^9$, 800 by 800 points: temperatures



Résultats 1D

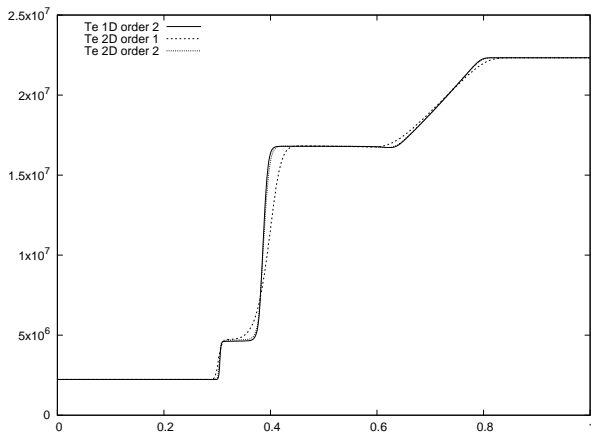
Cas test de Sod avec $\nu^{ei} = 4 \times 10^9$, 800 par 800 points. Résultats 1D



Comparaison 1D/2D

Cas test de sod avec $v^{ei} = 4 \times 10^9$, 800 par 800 points.

Comparaison 1D / 2D. Résultats le long de la direction de propagation



Pb de Riemann à 4 interfaces

Domaine $[0, 1] \times [0, 1]$, partitionnés en 4 quadrants de tailles identiques

$$\rho(x_1, x_2, 0) = 1 \text{ kg.m}^{-3}, \text{ si } x_1 < 0.5 \text{ and } x_2 < 0.5,$$

$$\rho(x_1, x_2, 0) = 0.125 \text{ kg.m}^{-3}, \text{ si } x_1 < 0.5 \text{ and } x_2 > 0.5,$$

$$\rho(x_1, x_2, 0) = 0.125 \text{ kg.m}^{-3}, \text{ si } x_1 > 0.5 \text{ and } x_2 < 0.5,$$

$$\rho(x_1, x_2, 0) = 1 \text{ kg.m}^{-3}, \text{ si } x_1 > 0.5 \text{ and } x_2 > 0.5,$$

Températures électronique and ioniques:

$$T^e(x_1, x_2, 0) = 293 \text{ K}, T^i(x_1, x_2, 0) = 273 \text{ K}, \text{ si } x_1 < 0.5 \text{ and } x_2 < 0.5,$$

$$T^e(x_1, x_2, 0) = 220 \text{ K}, T^i(x_1, x_2, 0) = 200 \text{ K}, \text{ si } x_1 < 0.5 \text{ and } x_2 > 0.5,$$

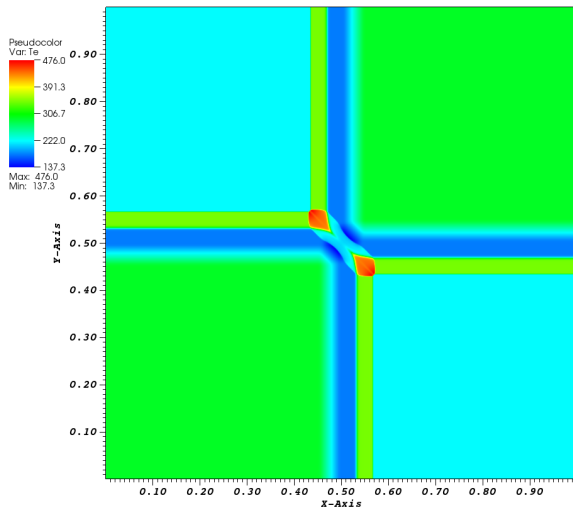
$$T^e(x_1, x_2, 0) = 220 \text{ K}, T^i(x_1, x_2, 0) = 200 \text{ K}, \text{ si } x_1 > 0.5 \text{ and } x_2 < 0.5,$$

$$T^e(x_1, x_2, 0) = 293 \text{ K}, T^i(x_1, x_2, 0) = 273 \text{ K}, \text{ si } x_1 > 0.5 \text{ and } x_2 > 0.5,$$

Température électronique

Température électronique pour un pb de Riemann à 4 interfaces

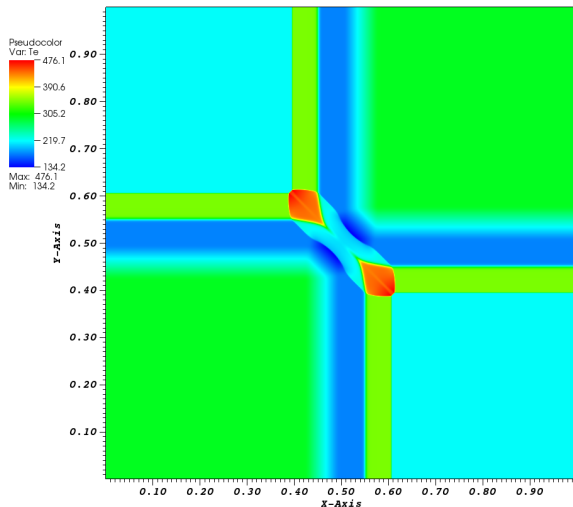
$\nu^{ei} = 100 \text{ s}^{-1}$, pour une grille 2000×2000



Température électronique

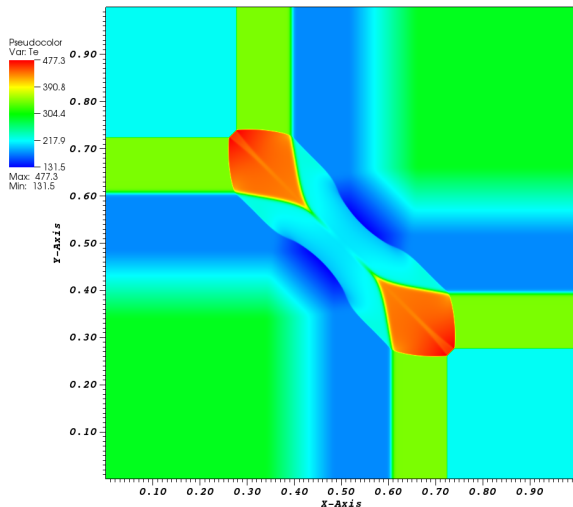
Température électronique pour un pb de Riemann à 4 interfaces

$\nu^{ei} = 100 \text{ s}^{-1}$, pour une grille 2000×2000



Température électronique

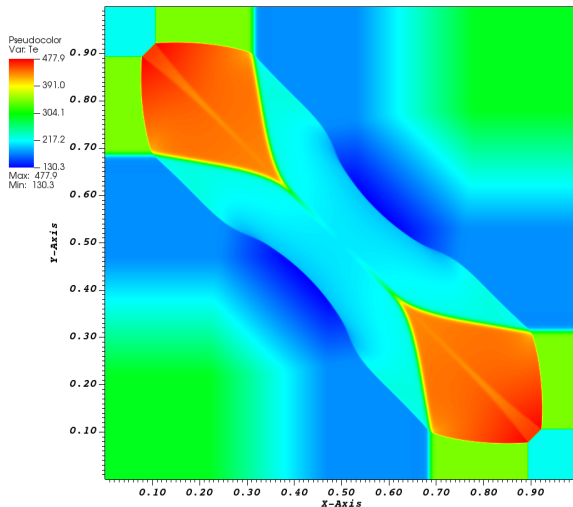
Température électronique s pour un pb de Riemann à 4 interfaces
 $v^{ei} = 100 \text{ s}^{-1}$, pour une grille 2000×2000



Température électronique

Température électronique pour un pb de Riemann à 4 interfaces

$\nu^{ei} = 100 \text{ s}^{-1}$, pour une grille 2000×2000



Comparaison 1D/2D

Températures électronique et ionique à $t = 0.0001$ s pour les 4 interfaces
 $\nu^{ei} = 100 \text{ s}^{-1}$, avec une grille de 2000 par 2000 points

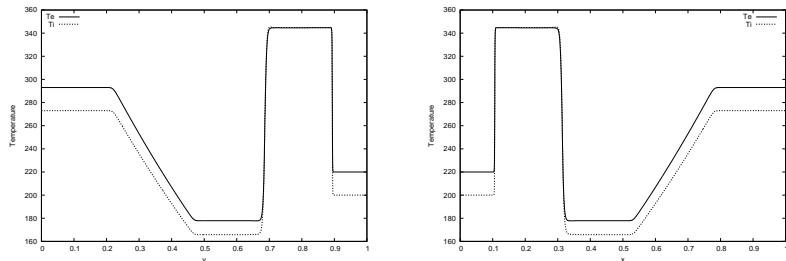


Figure: Résultats le long de l'axe $x_1 = 0.05$ (gauche) and le long de l'axe $x_2 = 0.95$ (droite).

[Coquel, Marmignon, 1998], [Estibals, Guillard, Sangam 2021] Hypothèse:
l'entropie électronique S_e est constante dans un choc.

Obtention d'un système **hyperbolique conservatif** en les variables $\rho, \rho u, \mathcal{E}_e + \mathcal{E}_i,$
 $\rho_e S_e$.

Cas-test: point-triple.

Point triple: condition initiale

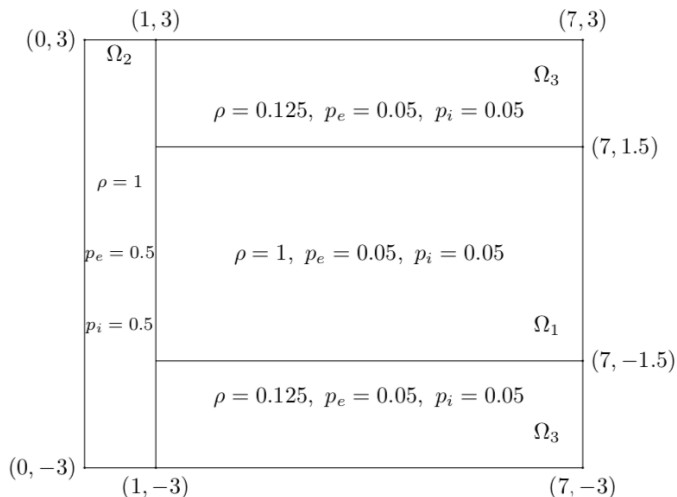
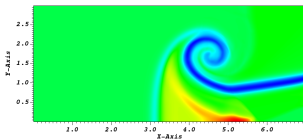
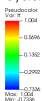


Figure 18: Initialization of the triple point problem in a rectangle.

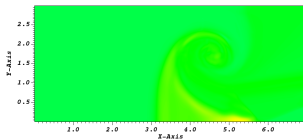
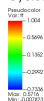
Point triple: différence entre T_i et T_e

DB: visit_ordre_2t_2x_500cells_temps_500.vtk
Cycle: 500 Time:500



user: dakergba
Mon Jun 7 23:05:40 2021

DB: visit_ordre_2t_2x_500cells_temps_500.vtk
Cycle: 500 Time:500



user: dakergba
Mon Jun 7 23:40:09 2021

Gauche: conservatif. Droite: non conservatif

Conditions initiales pour un problème de Riemann: $\rho = 1 \text{ kg.m}^{-3}$, $u = 0 \text{ m.s}^{-1}$
les températures sont données par:

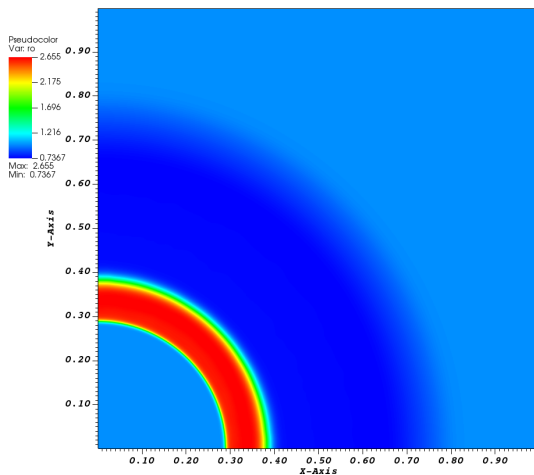
$$T^e(x_1, x_2, 0) = 2,3 \times 10^6 K, \quad T^i(x_1, x_2, 0) = 1.7406 \times 10^6 K \quad \text{if } (x_1)^2 + (x_2)^2 < \frac{1}{4},$$
$$T^e(x_1, x_2, 0) = 2,3 \times 10^7 K, \quad T^i(x_1, x_2, 0) = 1.7406 \times 10^7 K \quad \text{sinon}$$

Temps final de simulation: $t = 4.0901 \times 10^{-7} \text{ s}$.

Fréquence de relaxation ν^{ei} choisie de façon réaliste par le formulaire du NRL.

Densité totale

Densité totale au temps $t = 4.0901 \times 10^{-7}$ s pour une grille 500×500
 γ^{ei} donné par le formulaire du NRL



Comparaison avec un calcul 1d

Densité totale et vitesse le long de la première bissectrice

$t = 4.0901 \times 10^{-7}$ s avec ν^{ei} par le formulaire du NRL avec une grille 500 x 500

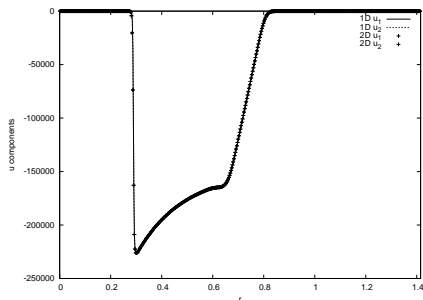
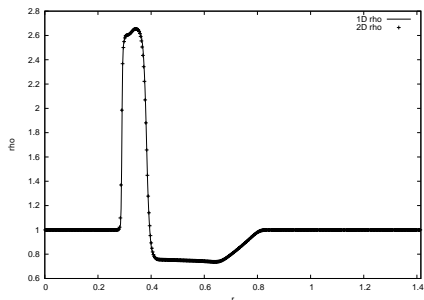


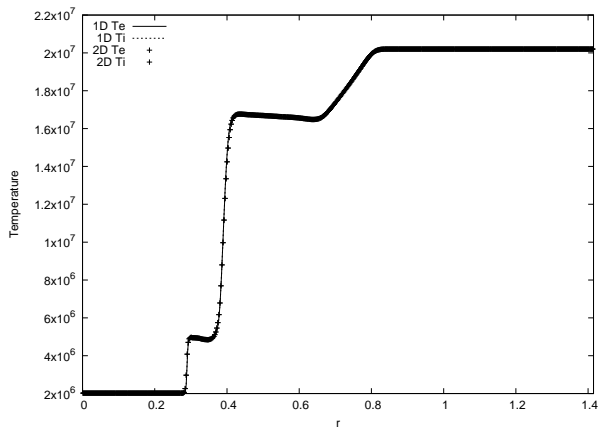
Figure: Densité totale (gauche) et vitesse (droite)

Comparaison avec un calcul 1d

Comparaison avec un calcul 1D en coordonnées polaires

Températures électroniques and ioniques au temps $t = 4.0901 \times 10^{-7}$ s

ν^{ei} donné par le formulaire du NRL pour une grille 500 x 500

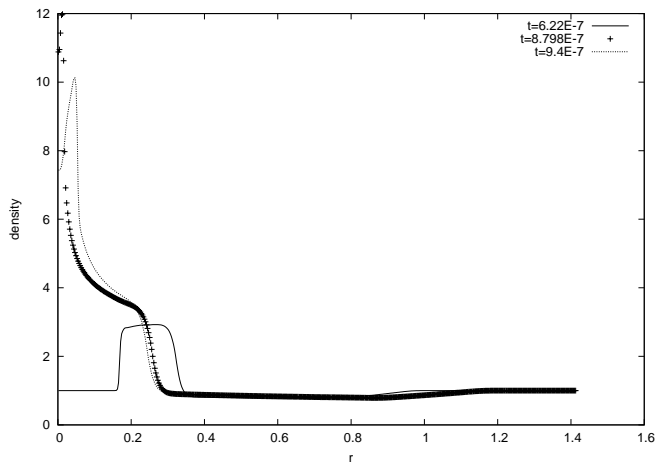


Comparaison avec un calcul 1d: densité

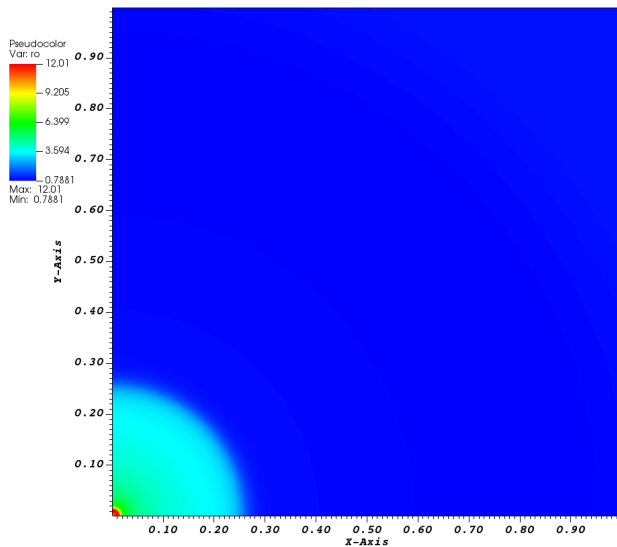
ν^{ei} donné par le formulaire du NRL pour une grille 500×500

Densité le long de la 1ère bissectrice à 3 temps différents

Pic observé à $t = 8.798 \times 10^{-7}$ sec.



Isovaleurs de la densité lors du pic



Conclusions

- Développement d'un schéma BGK discret 2D sur le modèle bitempérature
- Passage à l'ordre 2

Perspectives

- Essais avec d'autres choix de maxwelliennes (non entropiques mais plus précis)
- Prise en compte des champs magnétiques
Schéma BGK discret pour le modèle bitempérature avec champs magnétiques.
- Calculs de profils de choc

Merci pour votre attention